

Министерство науки и высшего образования РФ  
Государственная корпорация по атомной энергии «Росатом»  
Национальный исследовательский ядерный университет  
«МИФИ»

# **МАТЕРИАЛЫ XXII КОНФЕРЕНЦИИ**

## **ВЗАИМОДЕЙСТВИЕ ПЛАЗМЫ С ПОВЕРХНОСТЬЮ**

Москва, НИЯУ МИФИ, 23-24 января 2019 г.

Москва  
2019

**ББК 22.333**  
**УДК 533.9 (06)**  
**В 40**  
Материалы конференции «Взаимодействие плазмы с поверхностью». Материалы конференции «Взаимодействие плазмы с поверхностью». Материалы конференции «Взаимодействие плазмы с поверхностью».

Материалы XXII конференции «Взаимодействие плазмы с поверхностью». Москва, 23-24 января 2019 г.  
М.: НИЯУ МИФИ, 2019 г., 140 с.

Сборник содержит материалы докладов, представленных на ежегодно проводимую в НИЯУ МИФИ 22-ю конференцию по взаимодействию плазмы с поверхностью. Тематика конференции охватывает экспериментальные и теоретические исследования взаимодействия плазмы с поверхностью в установках управляемого термоядерного синтеза. Сборник сформирован по мере поступления докладов, которые опубликованы в авторской редакции при минимальной редакционной правке.

Редакционная коллегия:

*В.А. Курнаев,  
Ю.М. Гаспaryн,  
М.И. Шутикова*

**ISBN 978-5-7262-2542-5**

© Национальный исследовательский ядерный университет  
«МИФИ», 2019

Программа XXII конференции «ВЗАИМОДЕЙСТВИЕ ПЛАЗМЫ С ПОВЕРХНОСТЬЮ»	
Заседание №1	
<u>Среда, 23 января</u>	начало в 09.50
Аудитория Актовый зал	
Председатели – профессор КУРНАЕВ В.А., профессор ЧЕРНОВ В.М.	
9.00– 9.50	Регистрация участников
9.50– 10.00	Открытие
10.00– 10.25	Б.В. КУТЕЕВ НИЦ «Курчатовский институт», Москва, РФ Источники термоядерных нейтронов для развития материалов и гибридных технологий
10.25– 10.50	В.М. ЧЕРНОВ <sup>1,2</sup> , М.В. ЛЕОНТЬЕВА-СМИРНОВА <sup>1,2</sup> , М.М. ПОТАПЕНКО <sup>1</sup> , А.Н. ТЮМЕНЦЕВ <sup>3,4</sup> , А.И. БЛОХИН <sup>1,5</sup> <sup>1</sup> АО «Высокотехнологический НИИ неорганических материалов имени академика А.А. Бочвара», Москва <sup>2</sup> Национальный исследовательский ядерный университет МИФИ, Москва, Россия <sup>3</sup> Институт физики прочности и материаловедения СО РАН, Томск, Россия <sup>4</sup> Томский государственный университет, Томск, Россия <sup>5</sup> Институт проблем безопасного развития атомной энергетики РАН, Москва, Россия Малоактивируемые конструкционные материалы для ядерных реакторов деления и синтеза – вызовы и возможности
10.50– 11.20	А.С. КУКУШКИН НИЦ «Курчатовский институт», Москва, РФ Национальный исследовательский ядерный университет «МИФИ» Физические процессы в пристеночной плазме токамака и их моделирование
11.20– 11.40	Кофе-брейк
11.40– 12.05	S. BREZINSEK Forschungszentrum Juelich Status of European Roadmap in PSI
12.05– 12.30	В.М. САФРОНОВ Частное учреждение Государственной корпорации атомной энергии «Росатом» «Проектный центр ИТЭР», Москва Повреждения обращенных к плазме материалов ИТЭР; что исследовано и что необходимо изучить

перпендикулярном к плоскости базиса [4]. Целостность материала при этом обеспечивается радиационно-индуцированной пластичностью графита.

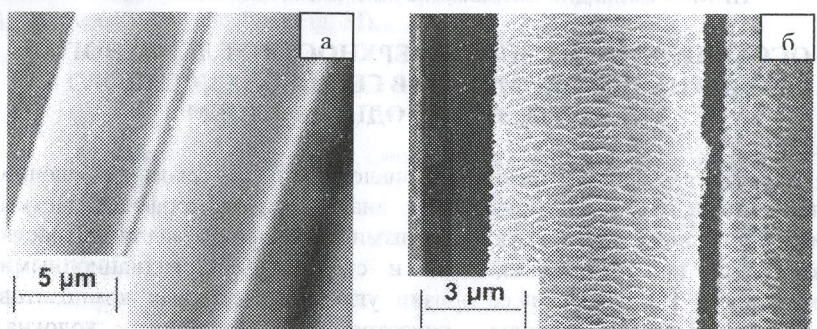


Рис. 1. РЭМ-изображения углеродного волокна до (а) и после ионного облучения (б)

При ионном облучении воздействию подвергается тонкий наноразмерный поверхностный слой. В текстурированной оболочке волокна на основе ПАН это приводит к сжатию слоя в направлении оси волокна, его расширению в перпендикулярном оси направлении и к большим механическим напряжениям между облучаемым слоем и остальной частью волокна. Если при нейтронном облучении радиационное формоизменение происходит для всего образца графитового материала, то при ионном облучении макроразмеры волокна изменяться не могут, и аккомодация напряжений в оболочке путем пластической деформации вызывает ее гофрирование. Для пластической деформации графита характерным является двойникование с формированием морфологических элементов призматической формы.

#### Список литературы

- [1] Carter G., J. Phys. D: Appl. Phys. 2001. V.34. pp. R1-R22.
- [2] Begrambekov L., Brosset C., Bucalossi J., et al., J. Nucl. Mater. 2007. V. 363-365. P. 1148-1152.
- [3] Андрианова Н.Н., Аникин В.А. Борисов А.М., Машкова Е.С., Казаков В.А., Овчинников М.А., Савушкина С.В., Изв. РАН. Сер. физич. 2018. Т. 82. С. 140–145.
- [4] Burchell T.D., MRS Bulletin. 1997. V. 22(4). P. 29-35.

А.С. АРАКЧЕЕВ<sup>1,2,3</sup>, А.В. БУРДАКОВ<sup>1,2,3</sup>, И.В. КАНДАУРОВ<sup>1,2</sup>,  
В.В. КУРКУЧЕКОВ<sup>1</sup>, В.А. ПОПОВ<sup>1,2</sup>, Л.И. ШЕХТМАН<sup>1</sup>,  
М.Р. ШАРАФУТДИНОВ<sup>4</sup>, Б.П. ТОЛОЧКО<sup>1,4</sup>, Ю.А. ТРУНЕВ<sup>1</sup>,  
А.А. ВАСИЛЬЕВ<sup>1,2</sup>, Л.Н. ВЯЧЕСЛАВОВ<sup>1,2</sup>

<sup>1</sup>Федеральное государственное бюджетное учреждение науки Институт ядерной физики им. Г.И. Будкера Сибирского отделения Российской академии наук

<sup>2</sup>Федеральное государственное автономное образовательное учреждение высшего образования "Новосибирский национальный исследовательский государственный университет"

<sup>3</sup>Федеральное государственное бюджетное образовательное учреждение высшего образования "Новосибирский государственный технический университет"

<sup>4</sup>Федеральное государственное бюджетное учреждение науки Институт химии твердого тела и механохимии Сибирского отделения Российской академии наук

#### СТАТУС ИССЛЕДОВАНИЙ ВОЗДЕЙСТВИЯ ИМПУЛЬСНЫХ ТЕПЛОВЫХ НАГРУЗОК НА ВОЛЬФРАМ В ИЯФ СО РАН

В Институте ядерной физики им. Г.И. Будкера СО РАН в Новосибирске был разработан испытательный комплекс ВЕТА (Beam of Electrons for material Test Applications) [1] на основе интенсивного импульсного электронного пучка. Комплекс предназначен для экспериментального моделирования воздействия на материалы интенсивных переходных тепловых нагрузок с длительностью и плотностью мощности, аналогичными этим параметрам, ожидаемым в диверторе ИТЭР. Важным отличием комплекса от многих других установок, также предназначенных для экспериментального моделирования воздействия импульсных тепловых нагрузок на материалы, является возможность исследования модификации материала во время воздействия тепловой нагрузки и непосредственно сразу после неё. Электронный пучок позволяет широко варьировать тепловую нагрузку от величины в несколько раз ниже порога плавления вольфрама, до величины, в шесть раз превышающей ее. Нагреваемая площадь порядка 1 см<sup>2</sup>, что значительно превышает характерные размеры деструктивных процессов, таких как ячейки сети трещин, горячие области и неоднородности расплава. Использование электронного пучка для моделирования теплового воздействия на поверхность материала позволяет применить разнообразную оптическую диагностику для наблюдений *in situ* динамики процессов поверхностной эрозии при интенсивных термических ударах.

Недавно на установке ВЕТА были получены первые результаты с использованием быстрой визуализации нагретой поверхности образца вольфрама в его собственном тепловом излучении и при освещении светом непрерывного лазера [2, 3]. Неравномерное распределение температуры по всей поверхности, которая нагревается равномерно, наблюдалось во время нагрева и последующего охлаждения. Сеть трещин была видна из-за их более интенсивного теплового излучения. Визуализация с лазерной подсветкой показала начало процесса плавления, которое происходило вблизи пересечений трещин и их краев [2, 3]. Движение слоя расплава под тепловой нагрузкой выше порога плавления наблюдалось в течение одного импульса нагрева с использованием четырех независимых ПЗС-камер. Четыре кадра были записаны с экспозицией 10 мкс и частотой кадров 50 кГц с разрешением 1,4 мегапикселей [1]. Динамика и распределение микрочастиц, выбрасываемых из слоя расплава, изучались с помощью многоканальной регистрацией света непрерывного лазера, дифрагированного на этих микрочастицах, а также их быстрой визуализацией с помощью ПЗС камер. Дифракция использовалась для изучения временного изменения интенсивности потока микрочастиц и характерного размера микрочастиц, выбрасываемых из расплава, в зависимости от интенсивности импульсного нагрева. Используя эту методику, был обнаружен порог интенсивности нагрева вблизи  $HFF = 170 \text{ МДж } m^{-2} s^{0.5}$ , начиная с которого начинает быстро расти количество вольфрама, испускаемого из расплава в виде микрочастиц размером 5-10 мкм [4, 5].

Были разработаны два новых оптических метода для наблюдения *in situ* процесса эрозии вольфрама: непрерывная регистрация рассеяния лазерного излучения от нагретой поверхности и трехмерное отслеживание микрочастиц с помощью быстрых ПЗС камер при трех разных углах обзора. Первые эксперименты с этими диагностиками выявили неожиданно большие задержки растрескивания поверхности под воздействием теплового удара и очень короткую длительность процесса растрескивания, происходящего почти одновременно на всей площади нагрева. Это явление характерно для вольфрама с параллельной и перпендикулярной ориентацией зерен и требует дальнейшего изучения как экспериментального, так и теоретического. Пространственная и временная локализация выброса микрочастиц с поверхности расплава вольфрама допускает интерпретацию с помощью ранее разработанной теоретической модели кипения перегретой жидкости. Сама

диагностическая техника полезна для исследования механизмов разбрзгивания расплава в различных экспериментальных условиях [6].

Кроме оптических диагностик для динамического измерения воздействия импульсного нагрева на материалы сейчас разрабатывается диагностика на основе рассеяния синхротронного излучения на станции "Плазма" [7]. Такая диагностика имеет три принципиальные особенности: измерения с временным разрешением, измерения внутри материала и измерения с пространственным разрешением. Для реализации этой диагностики используется схема дифракции Лауз на вольфрамовом монокристалле толщиной до 500 мкм. Термовая нагрузка симулируется YAG лазером с энергозапасом до 50 Дж и длительностью около 140 мкс. При тепловой нагрузке деформируется кристаллическая плоскость, на которой происходит дифракция. Из-за этого меняется положение и форма дифракционного пика. Форма и положение дифракционного пика измеряются детектором DIMEX [8]. Детектор снимает 30 кадров длительностью 10 мкс. По измерению формы пика планируется восстановить динамику распределения деформаций в материале при импульсной тепловой нагрузке. На данный момент продемонстрировано измерение динамики формы дифракционного пика.

#### Список литературы

- [1] Vyacheslavov L.N. et al. 2016 AIP Conf. Proc., 1771, 060004.
- [2] Vasilyev A.A. et al. 2016 AIP Conf. Proc., 1771, 060013.
- [3] Vasilyev A.A. et al. 2016 Nucl. Matter Energy 12 553.
- [4] Kasatov A.A. et al. 2016 AIP Conf. Proc., 1771, 060007.
- [5] Vyacheslavov L.N. et al. 2017 Nucl. Matter and Energy, 12, 494.
- [6] Vyacheslavov L.N. et al. 2018 Phys. Scr., 93, 035602.
- [7] Arakcheev A.S. et al. 2016 Physics Procedia, 84, 184.
- [8] V.M. Aulchenko et al. 2008 JINST, 3, P05005.